

27. 広島デルタのアルテシアン井揚水試験について

広島大学工学部土木教室 小田英一

(要旨)

本揚水試験の調査は國鉄広島機関区自家給水設備に伴う水源調査を目的として行つたものである。

試験井戸の位置は電気比抵抗地下探査法により調査した結果、広島駅裏の鉄道用地内に選定し、地下 50m 近ボーリングをなした。

この結果地下 25m より 30m 及の間に 5m 厚さの豊富な含水層が賦存し、その上に 18m の粘土層が介在し、この含水層はアルテシアン含水層であることが判明した。

この含水層の筛分試験により加積曲線を求め滲透係数を求むれば $k = 0.144 \text{ cm/sec}$ となつた。

次にこのボーリング孔に 4 吋鋼管を 29m 押入し、その先端にストレーナを付け、その巣巾は 3/16 吋で 30cm の溝を 6 列 6 段に切つてある。

水位測定用の観測孔は口径 1/2 吋鋼管を本試験井戸より 8m, 16m の位置に打込み、その深さは 28m 前後である。

揚水試験は 5 馬力、4 吋渦巻ポンプを使用し、流量測定は直角三角堰によつた。試験方法としては Step Draw down Test、及び Theis の非平衡式適用の方法をなす為三昼夜連續試験をなした。

滲透係数算定の方法として次の三方法によつた。

(i) Theis 非平衡式

T = 帯水層の伝達係数 (m^2/sec)、 S = 帯水層の貯水係数、 Q = 井戸の汲上量 (m^3/sec)、 d = 試験井戸より y (m m) なる距離の観測井の水面降下 (m)、 t = 汲上げ開始後の経過時間 (day)、 k = 滲透係数 (cm/sec)、 n = 帯水層の厚さ (m)

$$d = \frac{2.303 Q}{4 \pi T} \left(\log_{10} \frac{t}{r^2} - \log_{10} \frac{S}{2.25 \pi} \right) \quad \dots \dots \dots (1)$$

XX - 1

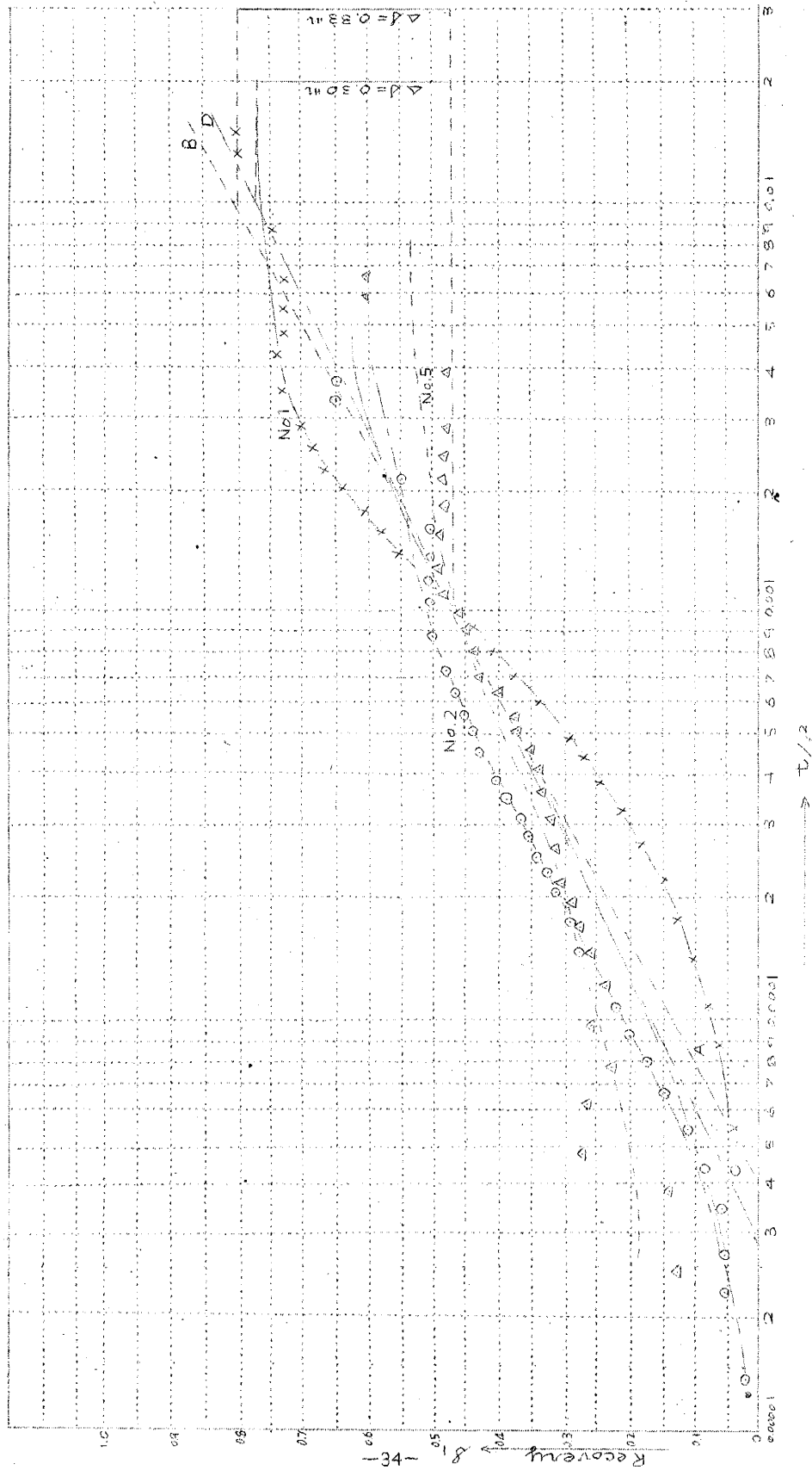


図-1に示す如く片対数紙上に s と $\log \frac{t}{T}$ の関係を示す直線を引くと、この直線の勾配が(1)の括弧の前の恒数を表わし、またこの直線と水面降下が零の座標軸との交点が(1)の括弧内の第二項を表わす。

この関係より T と S が求められる。

故に滲透係数は $k = \frac{T}{m}$ として求められる。

二の方法の Recovery Test I により $k = 0.13 \text{ cm/sec}$ 及び Recovery Test II より $k = 0.211 \text{ cm/sec}$ 又 Draw down Test より $k = 0.169 \text{ cm/sec}$ を得た。

(ii) Thiem 法

定常漏状態に達して 24 時間連續ポンプ運転中の測定値をこの方法で計算する。

$t_1 = \text{No. } 1 \text{ の観測管の Draw down}$ $t_2 = \text{No. } 2 \text{ の観測管の Draw down}$
 $b = \text{帶水層の厚さ}$ $a_1 = \text{試験井戸より No. } 1 \text{ 遠の距離}$

$a_2 = \text{試験井戸より No. } 2 \text{ 遠の距離}$

$$k = \frac{Q}{2\pi b} \cdot \frac{2.303 \log_{10} \left(\frac{a_2}{a_1} \right)}{t_1 - t_2} \quad \dots \dots \dots \quad (2)$$

これにより滲透係数を計算すれば潮の干満の影響をうけ、これを考慮して、
 $k = 0.123 \sim 0.124 \text{ cm/sec}$ をとつた。

(iii) Step Draw down Test

各揚水量 Q に対する Draw down S_w は井戸の不完全貫通により生ずる直圧及 Screen loss head 及び試験井戸管路中の upward friction loss head 及び velocity head を考え表1の如くなる。

これより Jacob's method 12より $S_w = 31.3Q + 5.4 \times 10^{-4} Q^2$ となり
 log-log method 12より $S_w = 31.6Q + 5800Q^{0.5}$ となる実際
 値を得られる。

これより critical discharge Q_c を求め

$r_n = \text{試験井戸の半径}$ $V_t = \text{laminar}$

flow と turbulent flow との境界点と試験井戸中心遠の距離とすれば、

$$V_{A_s} = \frac{Q}{Q_c} V_n$$

として各揚水量に対する turbulent flow の範囲が推定出来、これら如何に井戸半径と draw down に影響するかべ

判明し、本戸の計画に資料を提供する。
以上の測定結果について詳細に述べる。

28. 樹枝状構造と国土計画要旨

高知県岡谷室 岡本但夫

(要旨)

私は昭和22・23年度土木学会論文集文集以来数回にわたり樹枝状構造理論について同誌に投稿したが、此度は右理論の国土計画への応用の可能性についての研究を述べたいと思う。

樹枝状構造理論は次の二条件を基礎として出発する。

- I 集れば集る程単位要素当抵抗が減ずる（大きくなる程割安になる）
 - II 総抵抗を最少限にする（全体として最も経済的にする）
- 与えられた地盤内に等分布するもの（要素）を以上の二条件を満足しマラ外へ販出す。（又は外から来たものを地盤内に均分する）場合に得らるべきルートの形が樹枝状構造に外ならぬ。

樹枝状構造というのはその形が樹木の形をしているから付けた名前である。